

calculamos el equivalente thevenin

```
clc, clear, close all
format short g
```

```
vf = 5; %rms
r1 = 50;
r2 = 30;
r3 = 100;
```

```
zeq = r1+r2
```

```
zeq =
    80
```

```
If = vf/zeq %[A] rms
```

```
If =
    0.0625
```

```
vth = If*r2 %tension thevenin
```

```
vth =
    1.875
```

```
vth_max = vth*sqrt(2)
```

```
vth_max =
    2.6517
```

corriente norton

```
syms i1 i2
```

```
ec1= simplify(vf+(r1*i1)+r2*(i1-i2) == 0)
```

```
ec1 = 6 i2 = 16 i1 + 1
```

```
ec2= simplify(r2*(i2-i1)+r3*i2 == 0)
```

```
ec2 = 3 i1 = 13 i2
```

```
m = [-16 6; 3 -13];
n = [1;0];
h = m\n
```

```
h = 2x1
    -0.068421
    -0.015789
```

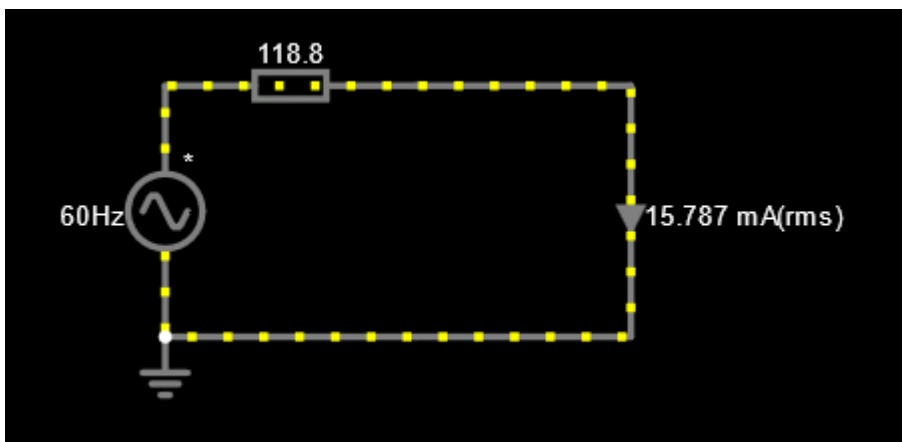
```
In = h(2) %[A] rms
```

```
In =
    -0.015789
```

```
rth = vth/In
```

```
rth =
    -118.75
```

Equivalente thevenin



Diseño 1:

Circuito RL diseño para ángulo de -70°

```
l = 5e-3;
r = 118.75;
vf = 5; %rms

syms angulo f L R

ec1 = solve(tan(angulo)==(2*pi*f*L)/R,f)
```

```
ec1 =

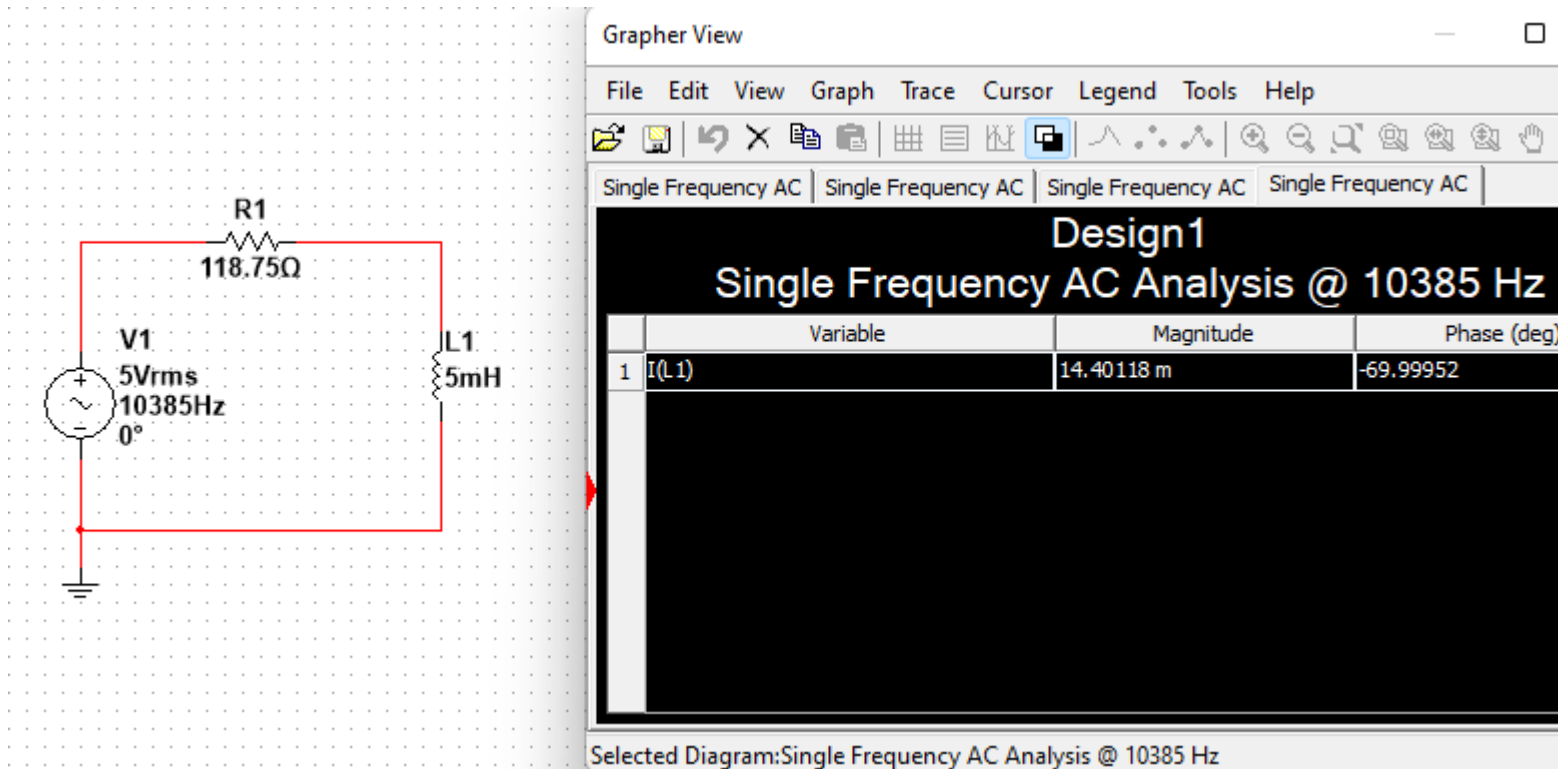
$$\frac{R \tan(\text{angulo})}{2 L \pi}$$

```

```
f = abs((r*tand(-70))/(2*1*pi)) %frecuencia necesaria
```

$$f = 10385$$

Así obtenemos la frecuencia necesaria para obtener un desfase de -70 grados en la corriente del inductor, lo verificamos en el simulador:



ya que sabemos la frecuencia calculamos la corriente y tension en el inductor:

$$x_l = (2 \cdot \pi \cdot f \cdot l) \cdot j$$

$$x_l = 0 + 326.26i$$

$$z_{rl} = r + x_l$$

$$z_{rl} = 118.75 + 326.26i$$

$$I_l = v_f / z_{rl};$$

$$I_{l_fasor} = [\text{abs}(I_l) \text{ angle}(I_l) \cdot 180 / \pi] \text{ %fasor corriente en el inductor [A]}$$

$$I_{l_fasor} = 1 \times 2$$

$$0.014401 \quad -70$$

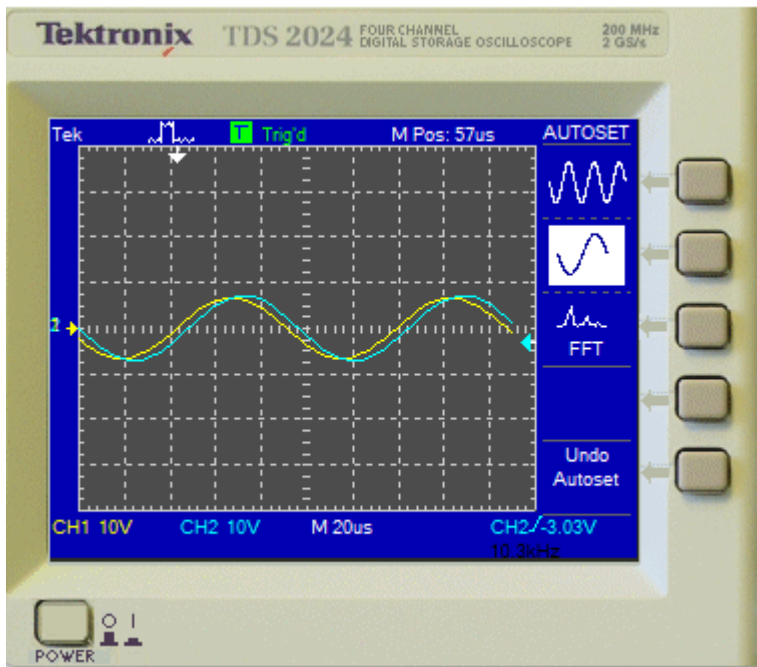
$$v_l = I_l \cdot (x_l);$$

$$v_{l_fasor} = [\text{abs}(v_l) \text{ angle}(v_l) \cdot 180 / \pi] \text{ %fasor voltaje en el inductor}$$

$$v_{l_fasor} = 1 \times 2$$

$$4.6985 \quad 20$$

verificamos en el simulador:



tension de la fuente (amarillo) comparada con la tension en el inductor (azul)

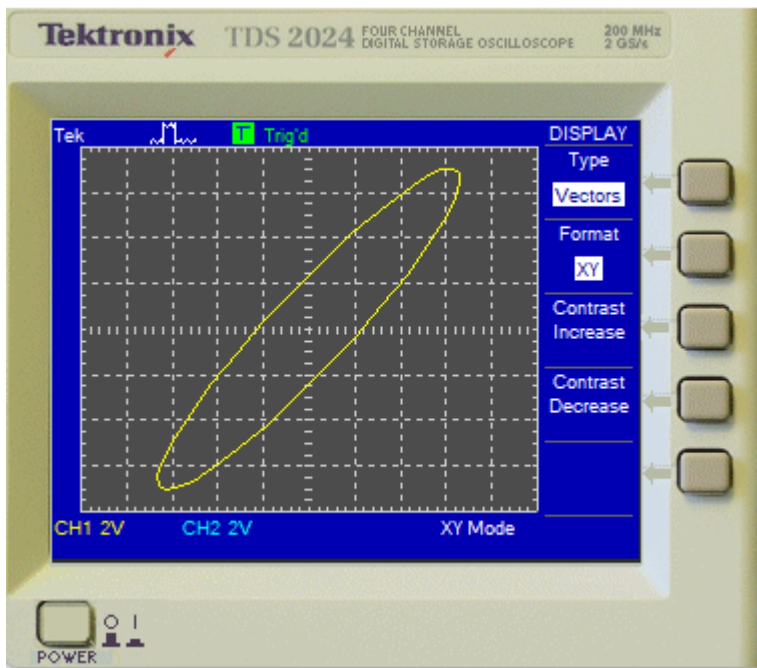


figura de lissajous

Diagrama fasorial

```
u = [real(v1) real(I1)*1e2 real(vf)];
v = [imag(v1) imag(I1)*1e2 imag(vf)];
co = compass(u,v);
c1 = co(1);
c1.LineWidth = 2;
c1.Color = 'r';
c2 = co(2);
```

```

c2.LineWidth = 2;
c2.Color = 'b';
c3 = co(3);
c3.LineWidth = 2;
c3.Color = 'g';

```

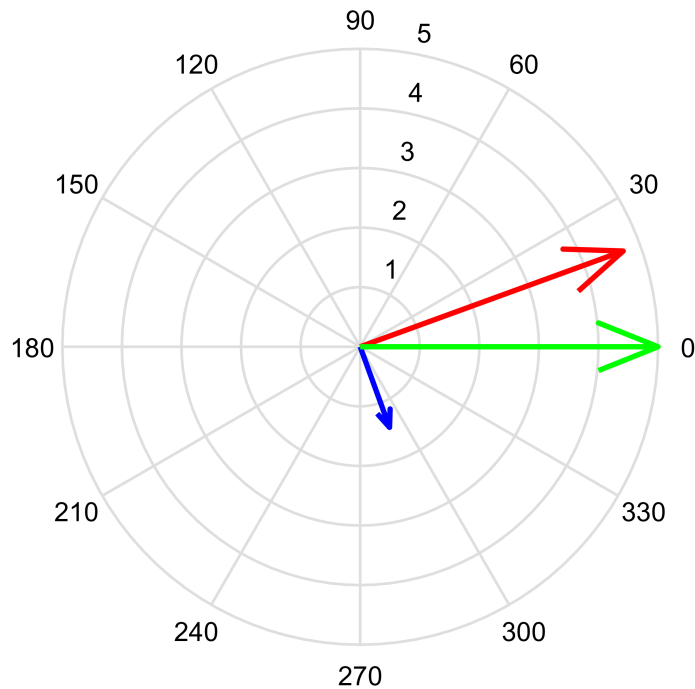


diagrama fasorial, tension de la fuente (verde), tension en el inductor (rojo), corriente en el inductor (azul)

Circuito RL diseño para -20°

```

f = abs((r*tand(-20))/(2*l*pi)) %frecuencia necesaria

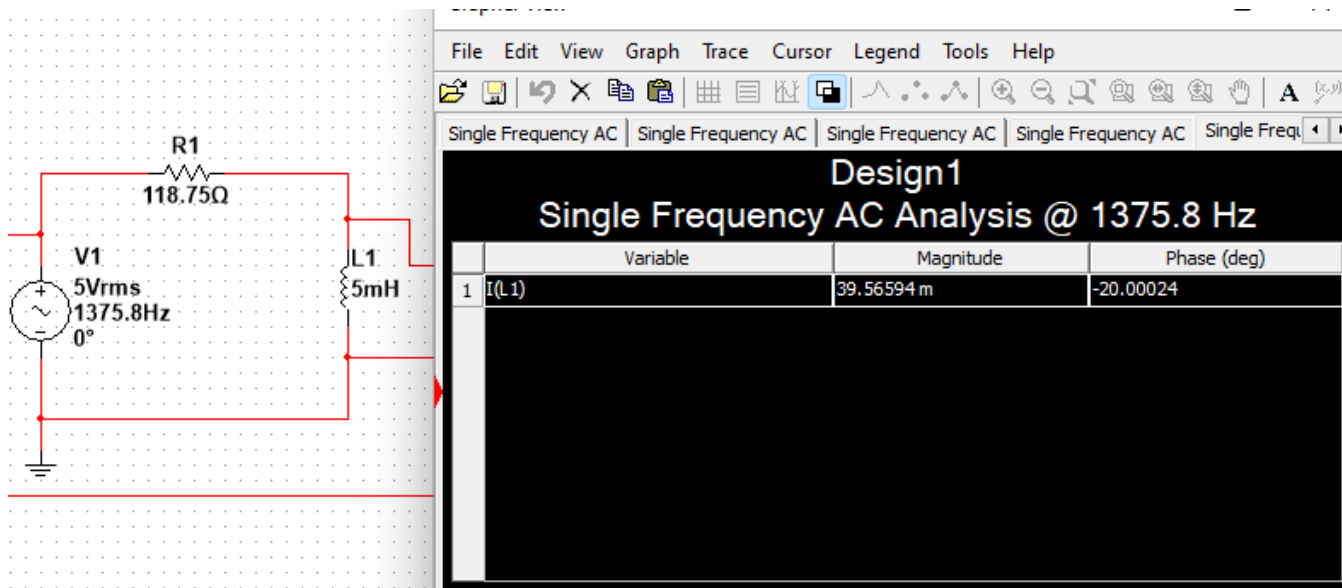
```

```

f =
    1375.8

```

verificamos en el simulador:



calculamos corrientes y tensiones en el inductor:

$$x_l = (2\pi \cdot f \cdot l) \cdot j$$

$$x_l = 0 + 43.221i$$

$$z_{rl} = r + x_l$$

$$z_{rl} = 118.75 + 43.221i$$

$$I_l = v_f / z_{rl};$$

$$I_{l_fasor} = [\text{abs}(I_l) \quad \text{angle}(I_l) \cdot 180/\pi] \text{ %fasor corriente en el inductor [A]}$$

$$I_{l_fasor} = 1 \times 2$$

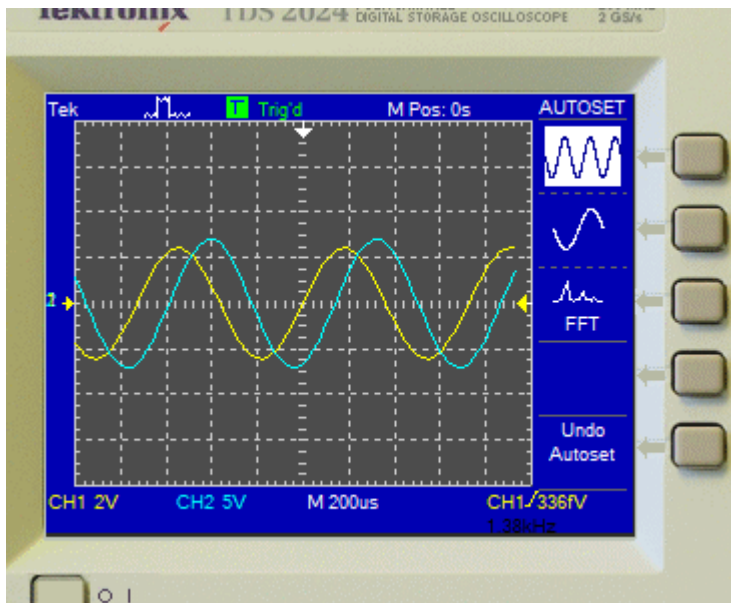
$$0.039566 \quad -20$$

$$v_l = I_l \cdot (x_l);$$

$$v_{l_fasor} = [\text{abs}(v_l) \quad \text{angle}(v_l) \cdot 180/\pi] \text{ %fasor voltaje en el inductor}$$

$$v_{l_fasor} = 1 \times 2$$

$$1.7101 \quad 70$$



tension de la fuente (amarillo) comparada con la tension en el inductor (azul)

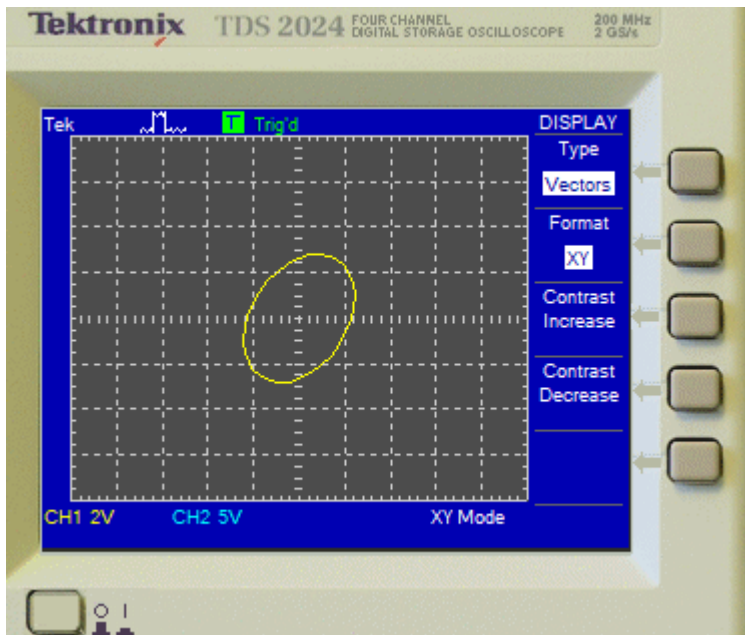


figura de lissajous

diagrama fasorial

```
u = [real(v1) real(I1)*1e2 real(vf)];
v = [imag(v1) imag(I1)*1e2 imag(vf)];
co = compass(u,v);
c1 = co(1);
c1.LineWidth = 2;
c1.Color = 'r';
c2 = co(2);
c2.LineWidth = 2;
c2.Color = 'b';
```

```
c3 = co(3);
c3.LineWidth = 2;
c3.Color = 'g';
```

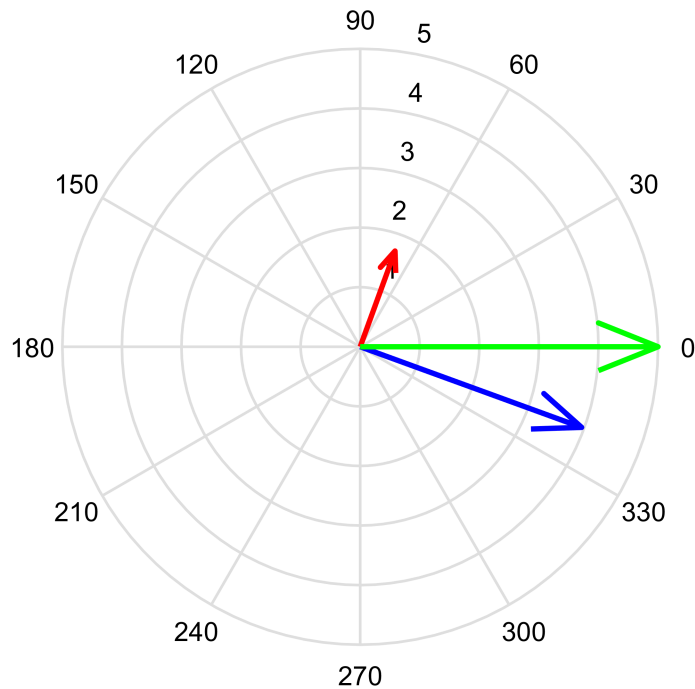


diagrama fasorial, tension de la fuente (verde), tension en el inductor (rojo), corriente en el inductor (azul)

DISEÑO 2

circuito RC diseño para 70°

```
c = 1e-6;

syms angulo f C R

ec1 = solve(tan(angulo)==(1/(2*pi*f*C))/R,f)
```

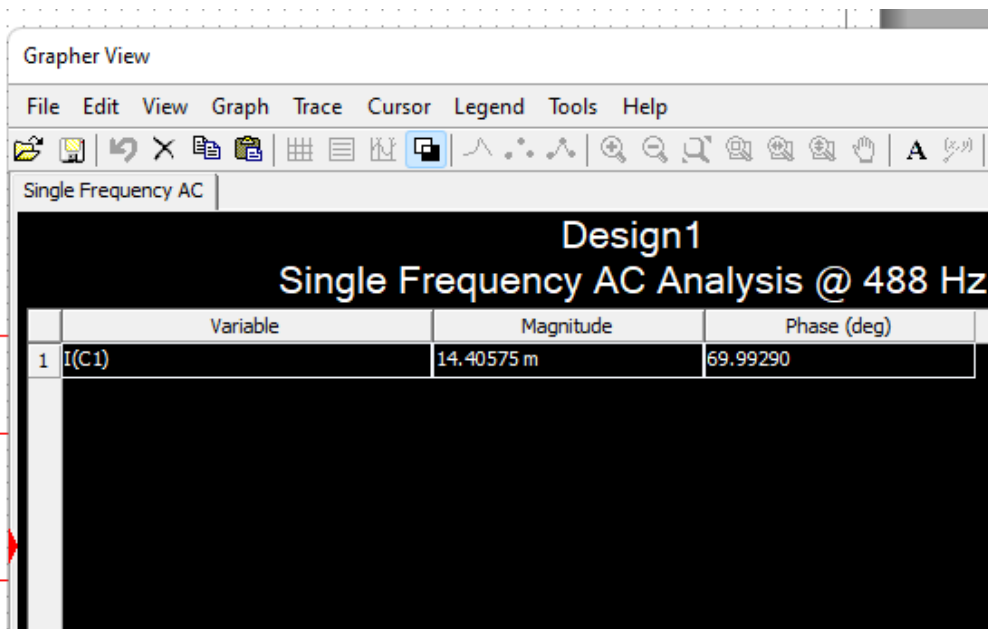
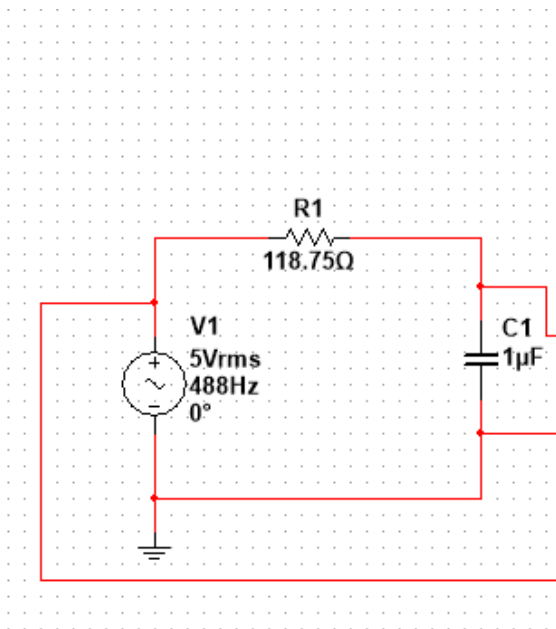
ec1 =

$$\frac{1}{2 C R \pi \tan(\text{angulo})}$$

```
f = 1/(2*c*r*pi*tand(70)) %frecuencia necesaria
```

f =
487.81

verificamos en el simulador



$$x_c = -(1/(2\pi f c)) * j$$

$$x_c = 0 - 326.26i$$

$$z_{rc} = r + x_c$$

$$z_{rc} = 118.75 - 326.26i$$

$$I_c = v_f / z_{rc};$$

$$I_{c_fasor} = [abs(I_c) \quad angle(I_c) * 180 / \pi] \text{ %fasor corriente en el capacitor [A]}$$

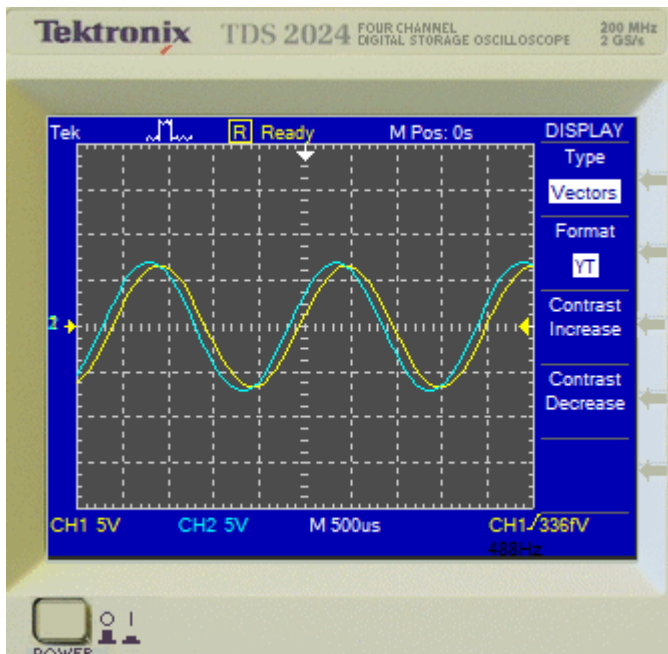
$$I_{c_fasor} = 1 \times 2 \begin{bmatrix} 0.014401 & 70 \end{bmatrix}$$

$$v_c = I_c * (x_c);$$

$$v_{c_fasor} = [abs(v_c) \quad angle(v_c) * 180 / \pi] \text{ %fasor voltaje en el capacitor [V]}$$

$$v_{c_fasor} = 1 \times 2 \begin{bmatrix} 4.6985 & -20 \end{bmatrix}$$

verificamos en el osciloscopio



tension de la fuente (amarillo) comparada con la tension en el capacitor (azul)

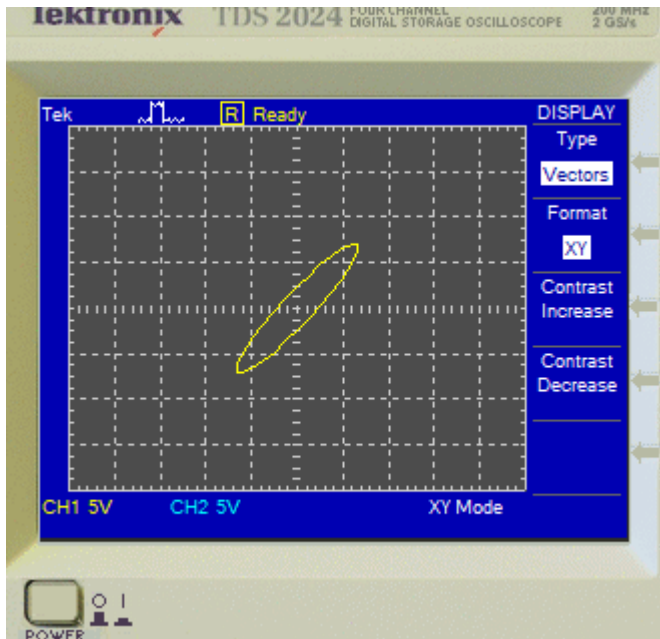


figura de lissajous

Diagrama fasorial

```
u = [real(vc) real(Ic)*1e2 real(vf)];
v = [imag(vc) imag(Ic)*1e2 imag(vf)];
co = compass(u,v);
c1 = co(1);
c1.LineWidth = 2;
c1.Color = 'r';
c2 = co(2);
c2.LineWidth = 2;
```

```

c2.Color = 'b';
c3 = co(3);
c3.LineWidth = 2;
c3.Color = 'g';

```

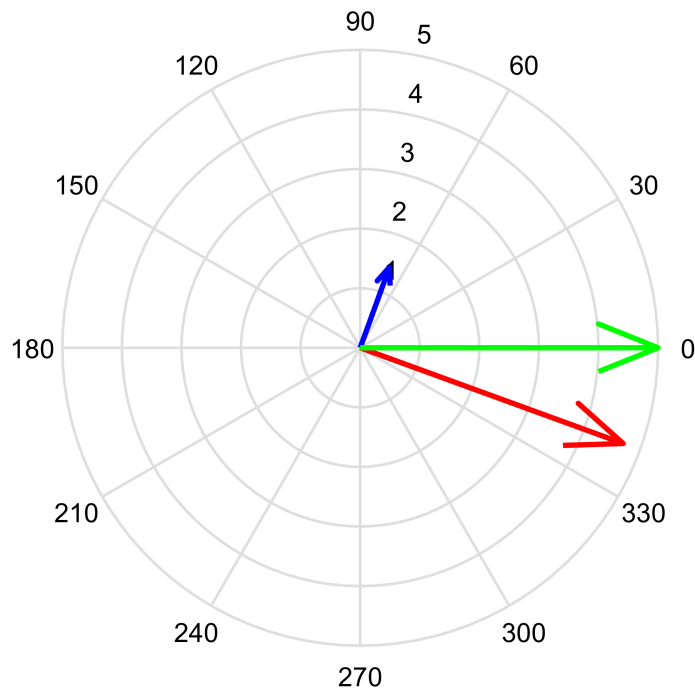


diagrama fasorial, tension de la fuente (verde), tension en el capacitor (rojo), corriente en el capacitor (azul)

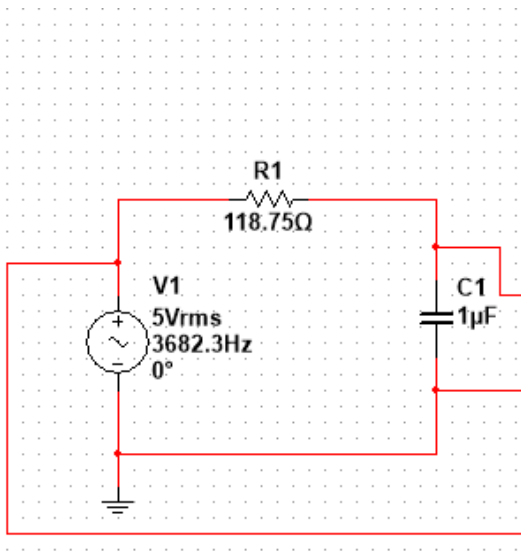
Circuito RC diseño para 20°

```

f = 1/(2*c*r*pi*tand(20)) %frecuencia necesaria

```

f =
3682.3



Grapher View

File Edit View Graph Trace Cursor Legend Tools Help



Single Frequency AC | Single Frequency AC | Single Frequency AC | Single Frequency AC

Design1

Single Frequency AC Analysis @ 3682.3 Hz

	Variable	Magnitude	Phase (deg)
1	I(C1)	39.56599 m	20.00006

$$x_c = -(1/(2\pi f c)) * j$$

$$x_c = 0 - 43.221i$$

$$z_{rc} = r + x_c$$

$$z_{rc} = 118.75 - 43.221i$$

$$I_c = v_f / z_{rc};$$

$$I_{c_fasor} = [abs(I_c) \ angle(I_c) * 180 / \pi] \ %fasor \ corriente \ en \ el \ capacitor \ [A]$$

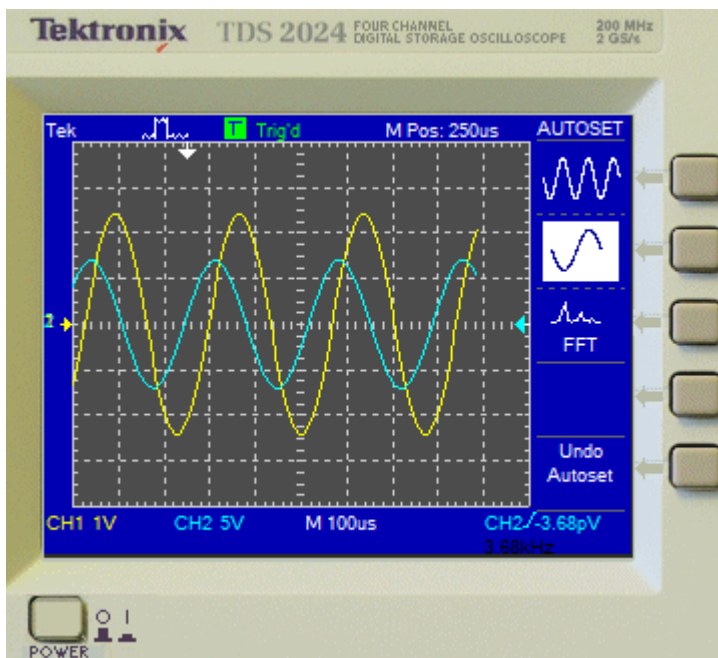
$$I_{c_fasor} = 1 \times 2 \\ 0.039566 \quad 20$$

$$v_c = I_c * (x_c);$$

$$v_{c_fasor} = [abs(v_c) \ angle(v_c) * 180 / \pi] \ %fasor \ voltaje \ en \ el \ capacitor \ [V]$$

$$v_{c_fasor} = 1 \times 2 \\ 1.7101 \quad -70$$

Verificamos en el simulador:



tension de la fuente (amarillo) comparada con la tension en el capacitor (azul)

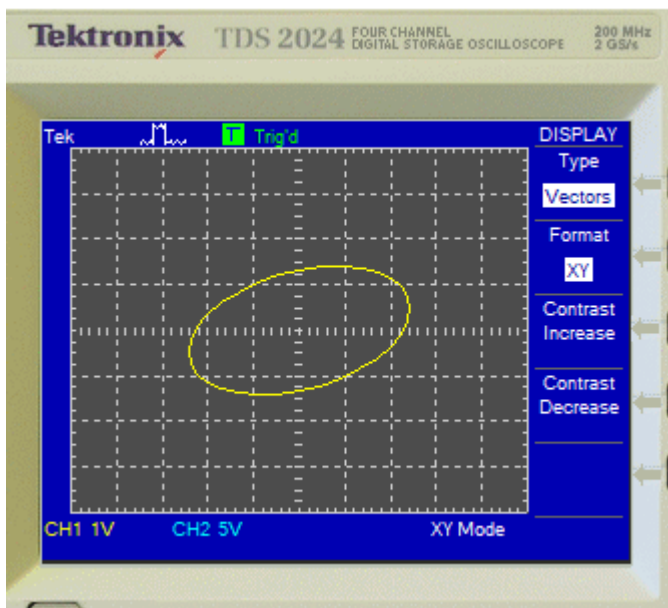


figura de lissajous

Diagrama fasorial

```
u = [real(vc) real(Ic)*1e2 real(vf)];
v = [imag(vc) imag(Ic)*1e2 imag(vf)];
co = compass(u,v);
c1 = co(1);
c1.LineWidth = 2;
c1.Color = 'r';
c2 = co(2);
c2.LineWidth = 2;
c2.Color = 'b';
```

```
c3 = co(3);
c3.LineWidth = 2;
c3.Color = 'g';
```

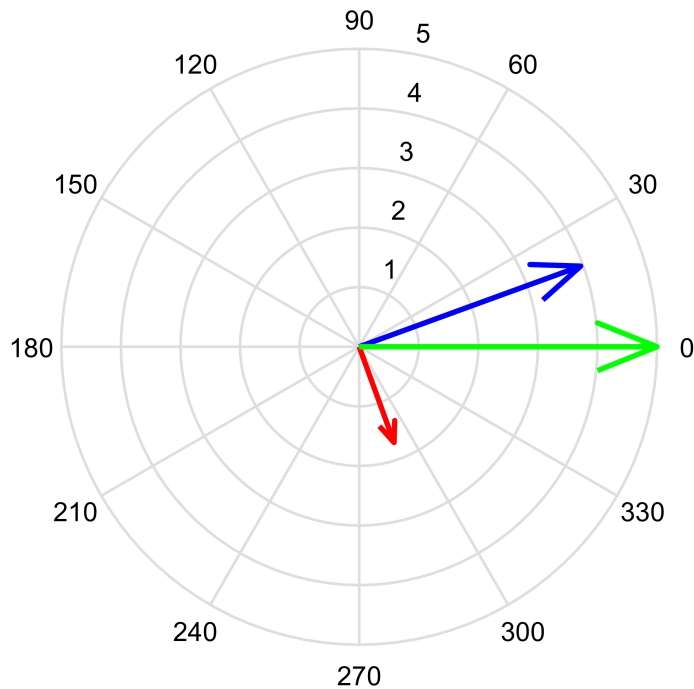


diagrama fasorial, tension de la fuente (verde), tension en el capacitor (rojo), corriente en el capacitor (azul)

DISEÑO 3

Circuito RLC diseño

```
syms angulo f L C R
```

```
frec = solve(tan(angulo)==((2*pi*f*L)-(1/(2*pi*f*C)))/R,f)
```

frec =

$$\left(\frac{\sqrt{C (C R^2 \tan(\text{angulo})^2 + 4 L)} + C R \tan(\text{angulo})}{4 C L \pi} \right)$$

$$\left(-\frac{\sqrt{C (C R^2 \tan(\text{angulo})^2 + 4 L)} - C R \tan(\text{angulo})}{4 C L \pi} \right)$$

```
f1 = ( sqrt(c*(c*(r^2)*(tand(-70)^2)+4*1)) + (c*r*tand(-70)) )/(4*c*l*pi) %frecuencia para angulo
```

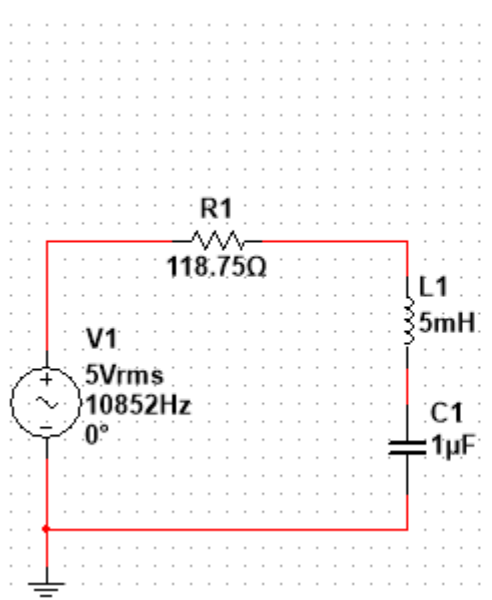
f1 =

466.83

```
f2 = abs(-( sqrt(c*(c*(r^2)*(tand(-70)^2)+4*1)) - (c*r*tand(-70)) )/(4*c*l*pi)) %frecuencia para
```

f2 =
10852

verificamos en el simulador



Grapher View

File Edit View Graph Trace Cursor Legend Tools Help

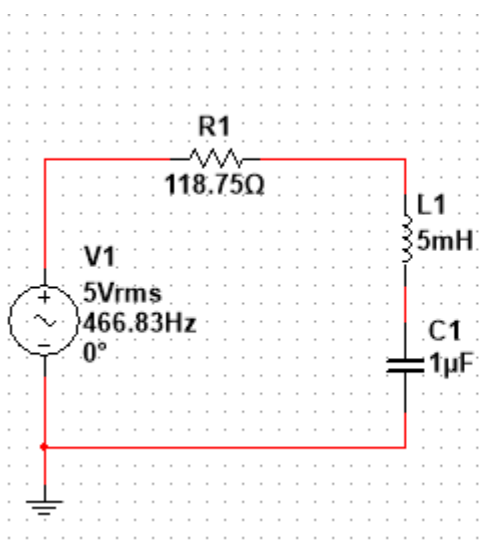
Single Frequency AC | Single Frequency AC | Single Frequency AC | Single Frequency AC | Single Frequency AC

Design1

Single Frequency AC Analysis @ 10852

	Variable	Magnitude	Phase (deg)
1	I(C1)	14.40098 m	-69.99982
2	I(L1)	14.40098 m	-69.99982

corriente con angulo de desfase **negativo** (-70°)



Single Frequency AC | Single Frequency AC | Single Frequency AC | Single Frequency AC | Single Frequency AC

Design1

Single Frequency AC Analysis @ 466.83

	Variable	Magnitude	Phase (deg)
1	I(C1)	14.40092 m	69.99990
2	I(L1)	14.40092 m	69.99990

corriente con angulo de desfase **positivo** (70°)

Ahora calculamos las corrientes y tensiones en cada elemento reactivo para ambos diseños

Angulo negativo:

$$x1 = (2 \cdot \pi \cdot f2 \cdot 1) \cdot j$$

$$x1 = 0 + 340.93i$$

```
xc = -(1/(2*pi*f2*c))*j
```

```
xc =  
      0 -      14.666i
```

```
zrlc = r + xl + xc
```

```
zrlc =  
      118.75 +      326.26i
```

```
Irlc = vf/zrlc;  
Irlc_fasor = [abs(Irlc) angle(Irlc)*180/pi] %fasor corriente en el circuit rlc [A]
```

```
Irlc_fasor = 1x2  
      0.014401      -70
```

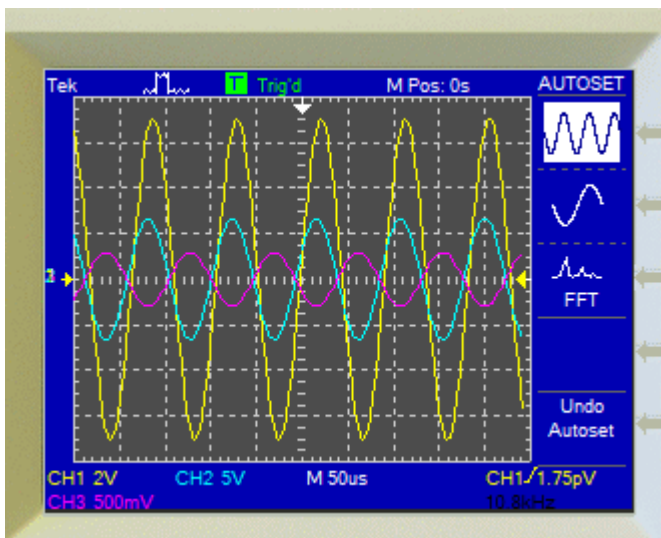
```
v1 = Irlc*(xl);  
v1_fasor = [abs(v1) angle(v1)*180/pi] %fasor voltaje en el inductor
```

```
v1_fasor = 1x2  
      4.9097      20
```

```
vc = Irlc*(xc);  
vc_fasor = [abs(vc) angle(vc)*180/pi] %fasor voltaje en el capacitor
```

```
vc_fasor = 1x2  
      0.2112      -160
```

verificamos en el osciloscopio



tension de la fuente (amarillo) comparada con la tension en el inductor (azul) y la tension en el capacitor (violeta)

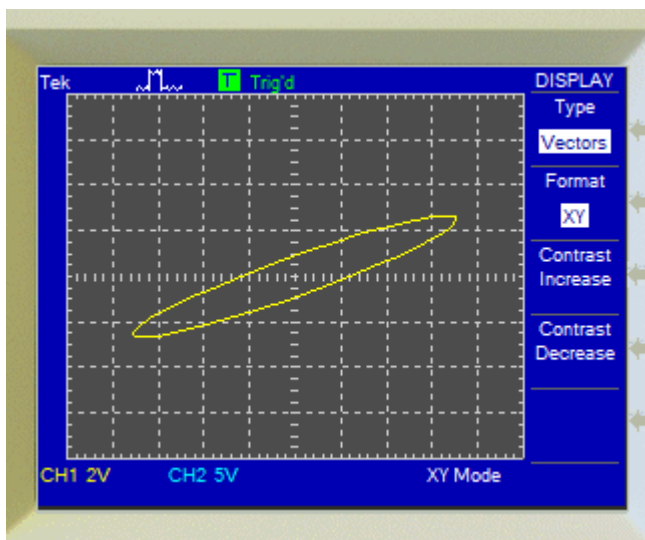


figura de lissajous

diagrama fasorial

```
u = [real(vc)*10 real(Irlc)*1e2 real(vf) real(vl)];
v = [imag(vc)*10 imag(Irlc)*1e2 imag(vf) imag(vl)];
co = compass(u,v);
c1 = co(1);
c1.LineWidth = 2;
c1.Color = 'r';
c2 = co(2);
c2.LineWidth = 2;
c2.Color = 'b';
c3 = co(3);
c3.LineWidth = 2;
c3.Color = 'g';
c4 = co(4);
c4.LineWidth = 2;
c4.Color = 'magenta';
```

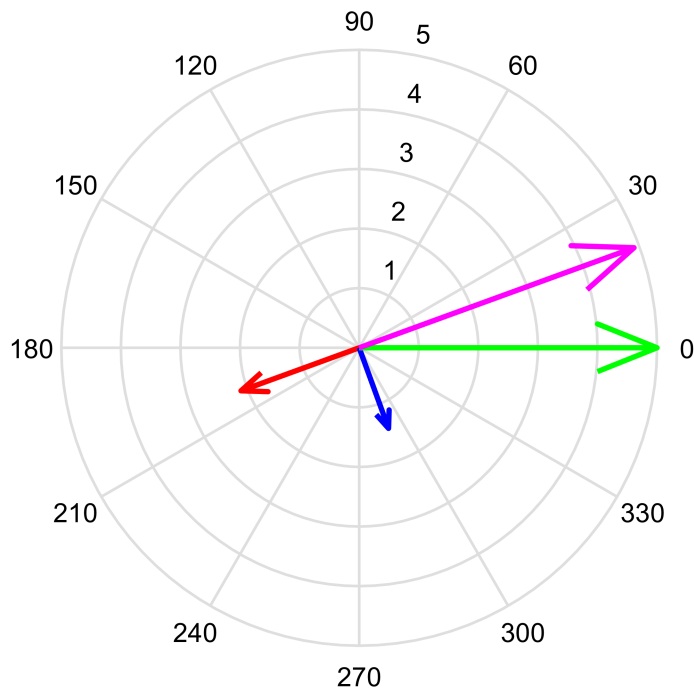


Diagrama fasorial, tension de la fuente (verde), tension en el capacitor (rojo), corriente en el circuito (azul), tension en el inductor (magenta)

Angulo positivo:

```
x1 = (2*pi*f1*l)*j
```

```
x1 =  
      0 +      14.666i
```

```
xc = -(1/(2*pi*f1*c))*j
```

```
xc =  
      0 -      340.93i
```

```
zrlc = r + x1 + xc
```

```
zrlc =  
      118.75 -      326.26i
```

```
Irlc = vf/zrlc;  
Irlc_fasor = [abs(Irlc) angle(Irlc)*180/pi] %fasor corriente en el circuito rlc [A]
```

```
Irlc_fasor = 1x2  
      0.014401      70
```

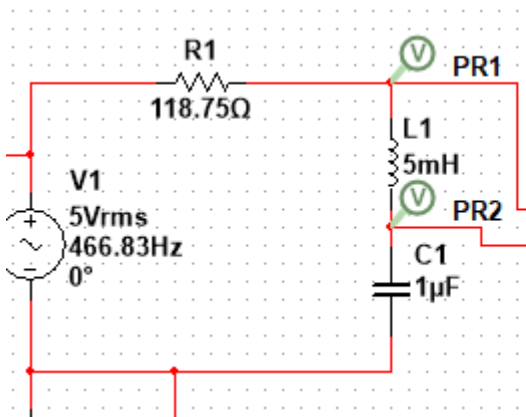
```
v1 = Irlc*(x1);  
v1_fasor = [abs(v1) angle(v1)*180/pi] %fasor voltaje en el inductor
```

```
v1_fasor = 1x2
```

```
vc = Irlc*(xc);
vc_fasor = [abs(vc) angle(vc)*180/pi] %fasor voltaje en el capacitor
```

```
vc_fasor = 1x2
         4.9097         -20
```

verificamos en el simulador

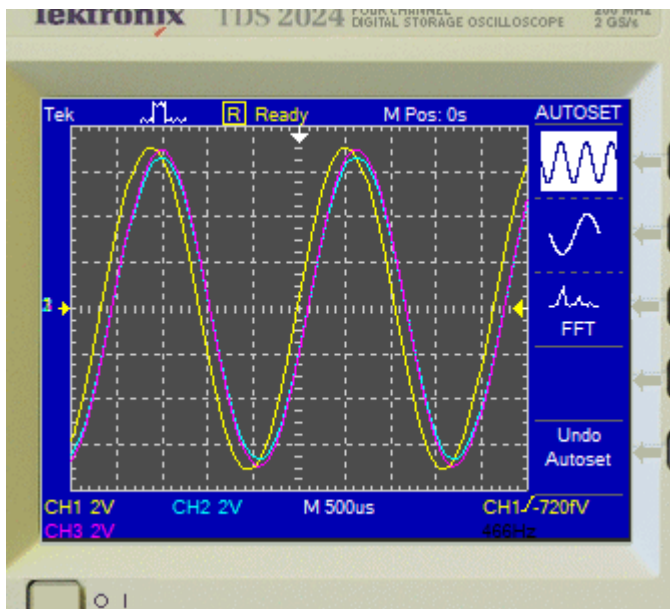


Design

Single Frequency AC Analysis @ 466.8

	Variable	Magnitude	Phase (deg)
1	V(2) V(PR2)	4.90966	-20.00010
2	I(C1)	14.40092 m	69.99990
3	I(L1)	14.40092 m	69.99990
4	V(PR1)-V(PR2)	211.20242 m	159.99990

verificamos en el osciloscopio



tension de la fuente (amarillo) comparada con la tension en el inductor (azul) y la tension en el capacitor (violeta)

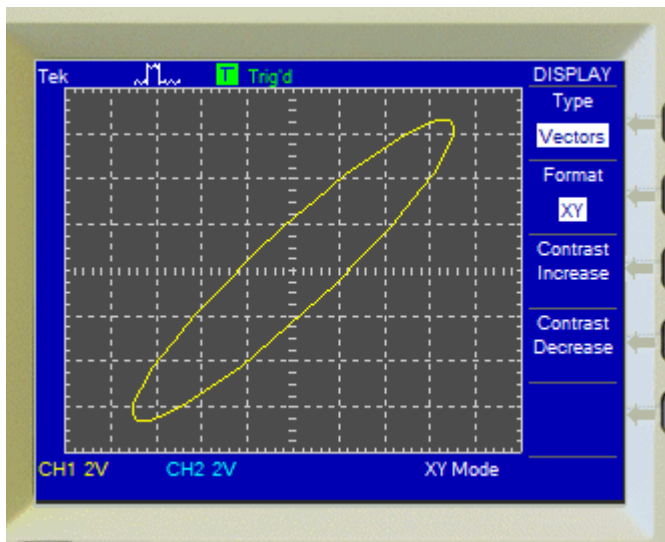


figura de lissajois

Diagrama fasorial

```
u = [real(vc) real(Irlc)*1e2 real(vf) real(vl)*10];
v = [imag(vc) imag(Irlc)*1e2 imag(vf) imag(vl)*10];
co = compass(u,v);
c1 = co(1);
c1.LineWidth = 2;
c1.Color = 'r';
c2 = co(2);
c2.LineWidth = 2;
c2.Color = 'b';
c3 = co(3);
c3.LineWidth = 2;
c3.Color = 'g';
c4 = co(4);
c4.LineWidth = 2;
c4.Color = 'magenta';
```

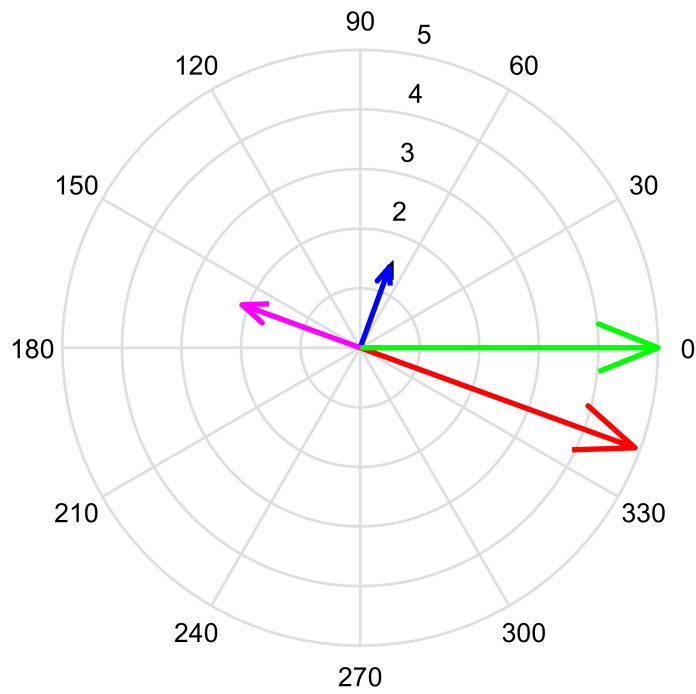


Diagrama fasorial, tension de la fuente (verde), tension en el capacitor (rojo), corriente en el circuito (azul), tension en el inductor (magenta)